

# 双 硫 脱

H.M.N.H. Irving著

1977

重庆市卫生防疫站

(预防医学文摘增刊)

## 前　　言

依尔文 (Irving) 所著双硫腙一书, 可能为继 (Iwentschell) 之后又一双硫腙的单行本, 全书正文共91页, 引用文献资料489条, 介绍了一些有趣的问题。由于篇幅、排印及翻译水平等因素, 省略了许多人名、图表以及文献资料等, 还省去非常见双硫腙络合物及其它一些章、段。

错误之处, 当不能免, 请予以指正。

译者 1978·9·

# 目 录

序言	( 1 )
无机分析中一种新的有机试剂	( 1 )
双硫腙的发现	( 3 )
双硫腙文献	( 6 )
双硫腙的性质	( 6 )
固体双硫腙	( 6 )
在不同溶剂中双硫腙的溶解度	( 10 )
两相平衡	( 12 )
双硫腙离介常数	( 16 )
双硫腙如一二元酸	( 18 )
双硫腙金属络合物及其结构	( 19 )
前言	( 19 )
原级双硫腙络合物结构	( 20 )
测定溶液中双硫腙络合物组成	( 23 )
全部转变	( 23 )
两相滴定法	( 24 )
连续变异法	( 24 )
斜率法	( 25 )
次级双硫腙络合物	( 26 )
双硫腙金属的光化学	( 28 )
光一色变性质	( 28 )
双硫腙金属在溶液中迅速分解	( 31 )
提取双硫腙金属	( 33 )

一般理论	( 33 )
提取双硫腙络合物的动力学表现	( 36 )
分离两种或多种金属	( 38 )
动力学控制分离	( 41 )
双硫腙有机金属络合物	( 42 )
前言	( 42 )
有机铅络合物	( 42 )
有机汞络合物	( 43 )
实际考虑	( 45 )
包括双硫腙的分析过程	( 45 )
双硫腙法“最后工序”	( 46 )
提取滴定	( 46 )
比色法	( 47 )
分光光度法	( 48 )
试剂	( 50 )
选择溶剂	( 52 )
双硫腙溶液变质	( 55 )
双硫腙的其它用途	( 58 )
定性分析	( 58 )
层析	( 59 )
重量分析	( 60 )
滴定分析	( 60 )
离子选择电极	( 61 )
放射性测量分析	( 61 )
低化学计量学	( 61 )
一些非分析用途	( 62 )
某些没有解决的问题	( 62 )

有些双硫腙络合物的存在及组成.....	(62)
溶液中存在酮式醇式互变体.....	(63)
双硫腙异构化及其有关问题.....	(66)
双硫腙相似体.....	(68)
结束语.....	(69)

# (一) 序 言

无机分析中一种新的有机试剂

自从费歇尔(H. Fischer)介绍一种新的有机试剂——双硫腙，用于分析化学，已有50年了。它在一般分析操作中是有影响的，现应从化学性质及分析上实际应用状况加以回顾，并作出广泛评价。

至上世纪末，有机试剂开始被介绍于无机分析。2-亚硝基- $\beta$ -萘酚(1884—5)、丁二酮肟(1905)及钢铁灵(1909)用作重量法试剂，费格尔(F. Feigl, 1891)开始其一系列点滴试验的著述。虽曾有用二苯卡巴肼提取铬(1900)，但将双硫腙介绍于分析领域，应归功于H. 费歇尔，他在1925年最初报告“双硫腙金属化合物及其在化学分析上的应用”，开始了一系列重要著述，不仅开始用一新试剂于点滴试验，且亦可用滴定操作(提取滴定)及其它方法以定量测定微迹金属。

这些革新的同时，德国一实验室面临测定高纯度金属中微量金属杂质的问题。双硫腙及其精确的化学计量的金属络合物具有特别及浓厚的颜色，几不溶于水，但可溶于许多有机溶剂如  $CHCl_3$  与  $C_6H_6$ 。费歇尔卓越地利用了这些特性，控制水相  $pH$  及藉助于络合剂，建立了液—液提取分离技术。基于一个化验师先驱的工作，这些设计现仍广泛用于分析领域及化学工业。

费歇尔提出：可用滴定操作(提取滴定)以测定微迹金属的双硫腙络合物，在单独的或有过多试剂或二次提取，用

单色法或混色法分光光度测定。

最初由于缺乏试剂供应，双硫腙的普遍应用受到限制，早期研究者须自己合成试剂，或须纯化商品试剂。另外，此新试剂极为灵敏，须用特别纯化过的试剂及有机溶剂，特别清洁的玻璃仪器。实验室条件及操作技术要求都很高，以降低空白值及避免错误结果。双硫腙溶液可迅速失效。因此，这一多才的试剂，不能很快推广应用。

不像8-羟基喹啉及后来介绍的许多有机试剂，双硫腙在反应方面较有选择性，仅与周期表中部(图1)金属阳离子生成稳定络合物，那些金属主要可自水溶液中成硫化物沉淀，微量测定这些元素有很大意义。后来发现一些金属与烷烃基或芳烃基结合的阳离子，可与双硫腙生成深色络合物，如 $\text{PhHg}^+$ 、 $\text{Et}_2\text{Sn}^{2+}$ 、 $\text{Bu}_2\text{Ga}^+$ 、 $\text{Ph}_3\text{Pb}^+$ 或 $\text{MeTi}^+$ ，这些络合物可被有机溶剂提取及分光光度法测定。

The diagram shows the periodic table with specific regions highlighted:

- Va**: Cr, Mn, Fe, Co, Ni, Cu, Zn.
- VIIA**: F, Cl, Br, I.
- VIII**: A bracket above the transition metals.
- IB**: Ba, Sr, Ca.
- IIIB**: Sc, Y, La.
- IVB**: Ti, Zr, Hf.
- VIB**: Mo, Tc, Ru, Rh, Os, Ir.
- VIIB**: W, Re, Pt.
- VIIIB**: Nb, Ta, Pa, U.
- B**: Boron group elements (B, Si, P, S).
- C**: Carbon group elements (C, Si, P, S).
- N**: Nitrogen group elements (N, P, S).
- O**: Oxygen group elements (O, S, Se, Te).

图1 可自水溶液成硫化物沉淀及被双硫腙提取的金属

在虚线内的金属，可自水溶液成硫化物分离，不能正常地生成可提取的双硫腙络合物。在方块内的金属，可自水溶

液被双硫腙提取。一些金属(如 $Fe$ 、 $Cu$ 、 $Hg$ )按照氧化状态的不同，生成不同的双硫腙络合物。

硒的情况仍有待讨论。镧系( $La-Lu$ )在50%乙醇水溶液中生成稳定性低的络合物，其它几个金属在无水及有高浓度配位基时生成双硫腙络合物。

用双硫腙作试剂以测定有机材料、药品制剂、生物材料及法医检定标本中的铅，有其价值。广泛用于测定农产品、动物制品、岩石、矿产品及水样中微量元素，发展很快。在此期间内测定技术及仪器也有很大发展。

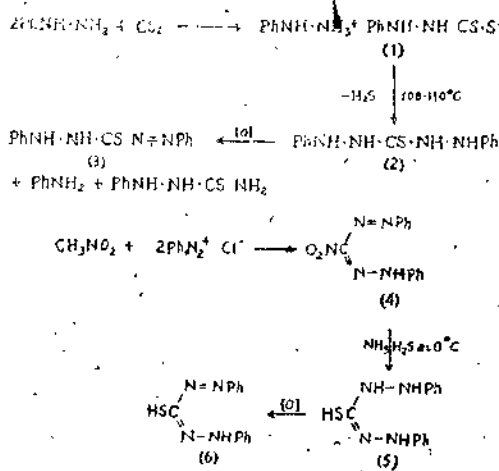
双硫腙一金属系统物理化学的基础研究，开始较迟，后来的许多工作，对多种多样的液—液提取系统，包括许多不同形式的有机系统，确实奠定了基础。

有关双硫腙及其分析上应用的出版工作(见表1)，在60年代每年达到100篇的高峰。但近来由于原子吸收及原子荧光分光等技术，可代替双硫腙以测定许多微迹金属，且灵敏度较高，操作技术及经验要求较少，此趋势无疑的还要继续发展下去。虽然双硫腙的历史任务，如许多灵敏试剂一样，用液—液提取分光光度直接测定微迹金属，变为不重要了。与此同时，用双硫腙预浓缩及分离金属，再用灵敏度高的物理方法测定，则并未减少。用于色层法，可测 $ng$ 级金属，在研究低化学计量及许多放射化学操作方面，此试剂仍保留其重要作用。

### 双硫腙的发现

E. Fischer广泛研究苯肼的衍生物时，当二硫化碳与苯肼的有机溶剂混合，产生一不稳定的白色盐(1)，加热则失去硫化氢而得二苯氨基硫脲(2)，与稀碱共热则发生氧化。

随后研究其黑色氧化产物二苯基硫代卡巴腙(3),证实其实验式为 $C_{13}H_{12}N_4S$ ,可生成 $(C_{13}H_{12}N_4S)_2 \cdot ZnO$ 或 $Zn(C_{13}H_{11}N_4S)_2 \cdot H_2O$ ,像品红那样美丽的红色晶体。与 $Ag$ 、 $Hg$ 、 $Pb$ 生成水中不溶介的盐, $Ag$ 为棕紫色, $Hg^{+}$ 、 $Hg^{2+}$ 为棕红色, $Pb$ 为红色,均可溶于氯仿。 $Al$ 、 $Cr^{3+}$ 、 $Sn^{4+}$ 在碱性溶液中无作用。



10年以后，用硝基甲烷与氯化重氮苯偶合，生成硝基  
偕苯偶氮(4)。在1926年有用硫氯化铵还原得二氢偕苯偶氮  
硫醇(5)，认为它与F.费歇尔的二苯硫卡巴肼(2)相同，(5)  
可迅速氧化为(6)，它又与(3)相同，但(3)为E.费歇尔约  
50年前所制得。此黑色产物(*m*-*p*, 178°C)可与Cu<sup>2+</sup>及Pb<sup>2+</sup>  
生成盐，分析为Cu(C<sub>18</sub>H<sub>11</sub>N<sub>4</sub>S)<sub>2</sub>及Pb(C<sub>18</sub>H<sub>11</sub>N<sub>4</sub>S)<sub>2</sub>，  
Hg<sub>2</sub><sup>+</sup>生成红色盐。

黑色的二苯硫代卡巴腙，[(3)式/或(6)]，现通称双硫腙。

由介热(1)制成的二苯硫代卡巴肼并不与(2)结构一致,  
 $\text{Ph NH NH} \cdot \text{CS} \cdot \text{N}(\text{NH}_2)\text{Ph}$  及  $\text{Ph N}(\text{NH}_2) \cdot \text{CS} \cdot \text{N}(\text{NH}_2)\text{Ph}$  可考虑为互变，与其氧化产物双硫腙的真实结构有明显关系。经充分研究其互变，认为(2)式是正确的。因为双硫腙能迅速溶于碱的水溶液，表现为典型的硫醇式，(6)式似较(3)式合理。虽然一时未得出结构式，由于双硫腙有机溶剂溶液的可见光谱，有二显著的吸收带(图2)，可假设其相当于两个互变体(3)  $\rightleftharpoons$  (6)。双硫腙的溶液含有两个形式的互变体平衡，并非任何人都同意这一概念，此试剂溶液近期的评价见后。

在1924年巴雷(Parri)叙述了二苯硫卡巴肼与  $\text{Ag}$ 、 $\text{Bi}$ 、 $\text{Cd}$ 、 $\text{Co}$ 、 $\text{Cu}$ 、 $\text{Hg-Ni}$  及  $\text{Pb}$  所生成絮状沉淀的特殊

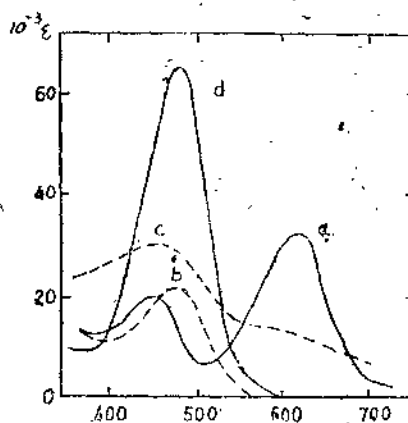


图2 双硫腙光谱

- (a)  $\text{H}_2\text{Dz}/\text{CCl}_4$
- (b)  $\text{HDz}^-$
- (d)  $\text{Hg}(\text{HDz})_2/\text{CCl}_4$
- (c) 双硫腙折射光谱

颜色，由于此试剂可被氧化为双硫腙（特别在有可与它生成稳定络合物的阳离子存在时），可能是巴雷氏的结果实际上属于双硫腙的反应。由他制备二苯硫卡巴胂的方法计算，他实际上用了苯肼盐（1），似有可能。的确，第一次明显的用双硫腙，系在 H. 费歇尔氏实验室。

### 双硫腙文献

观察它在有机分析试剂中的特殊地位，令人惊叹不已，许多原始文献提到它。双硫腙成为许多书籍章节的题目，特别在点滴试验，比色分析试剂、吸收分光光度法及液—液提取等。在谢德尔(Sandeil)等的书中对双硫腙有卓越的讨论，是很有用的。这些著作在结构式方面，是不能令人满意的。

B. D. H 有机试剂一书有双硫腙一段，其它公司还有关于用双硫腙测  $Pb$ 、 $Hg$ 、 $Zn$ 、 $Cd$ 、 $Bi$  等金属的单行本，但 Iwentscheff 的单行本则是最广泛及最详细的，为一唯一不可缺少的参考资料（收集了 1971 年以前 2000 条以上的文献资料）。

本书不企图重复这些材料，着重在物理化学及分析上一般应用，对实际测定的详细操作不予细述。

### 双硫腙的性质

#### 固体双硫腙

纯双硫腙 ( $C_{13}H_{12}N_4S$ ；分子量 = 256.3) 为紫黑色晶形粉末，具有金属光泽，密度为 1.35 克/立方厘米，熔点 169°C (分解)。在 pH 7 以下，实际上不溶于水 ( $\sim 5 \times 10^{-6}$

克/升)，但迅速溶于碱得黄色阴离子(7)，在  $\lambda_{\text{最大}} = 470 \text{ nm}$ ,  $\epsilon = 22000$ (见图2)。以硫酸二甲酯处理，生成  $S-\text{甲基双硫脲}$ (8)。

Alsop 用  $x$ -射线作结晶学研究，当双硫脲固态时，结晶的空间群为  $P_{-1}/n$ (1),  $a = 11.95$ ,  $b = 22.24$ ,  $c = 4.69 \text{ \AA}$ ,  $\beta = 91.8^\circ$ 。分子表现为平面， $C-S$  距为  $1.74 \text{ \AA}$ ，多表现为硫酮式结构(如3)。双硫脲晶体很薄、易碎，沿一轴向延伸，可弯曲，很少得到单晶。不幸，Alsop 的晶体是向外弯的，以致  $\beta$  角不能准确测量，强度测量的精密度亦受到不利的影响。最近，偶然由氯仿溶液得一较好的单晶测量。Laing 重测其结构， $\beta = 82.0(3)^\circ$ ,  $a = 4.70(1)$ ,  $b = 25.53(3)$ ,  $c = 11.95(2) \text{ \AA}$ 。分子(式9)近于平面， $C-S$  键位于两平面的相交处，苯基在相反方向微弯曲于中央平面之外。由测键长明显知道， $N-N-C-N-N$  大  $\pi$  键的电子分布于全区域，无单键双键的区别。两个亚胺基氢原子位置如(9)，假设这些氢带一部分正电荷，则影响所连接的氮原子，并沿共轭链— $N^{\delta-}-N^{\delta+}-C^{\delta-}-N^{\delta+}-N^{\delta-}$ —互换电荷。在固体晶格上氮原子与相邻分子接触最近( $3.3-3.5 \text{ \AA}$ )，平行于  $a$ —轴。连接于  $C-S$  基上带正电荷的氮原子与另一分子中一侧受  $\pi$  电子云影响而另一侧带负电荷的氮原子相互作用。由此，在任何分子中，四个氮原子与邻近分子氮原子间存在四个相对地强的静电作用，每一苯基受一邻近分子上一氯原子的影响。这些强的吸引，说明先生长的晶体平行于

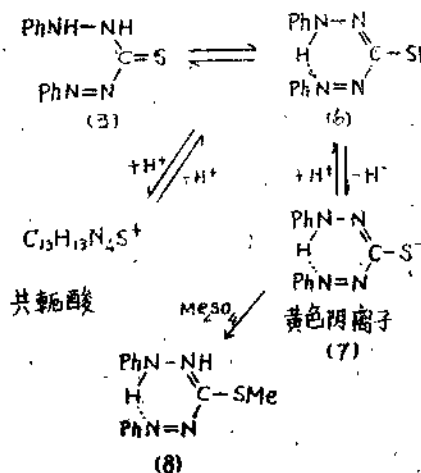
注〔1〕：原参考资料无从查到， $p_2/n$  表示法不清楚。

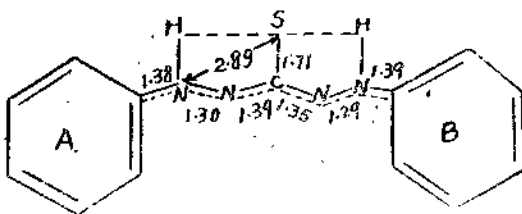
$a$ —轴。具相当高的晶格能，此可介释双硫腙在有机溶剂中溶解度低的原因。

由二苯硫卡巴肼 $\alpha$ —射线结晶学对照研究表明，虽然结晶有相同的空间群， $a = 18.46$ 、 $b = 12.56$ 、 $c = 5.65\text{\AA}$ 及 $\beta = 92.40$ ，而两苯基弯曲于平面外 $73-76^\circ$ ，平面由四个氮原子及中心杂环碳原子组成。

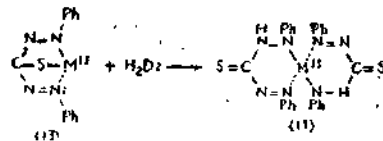
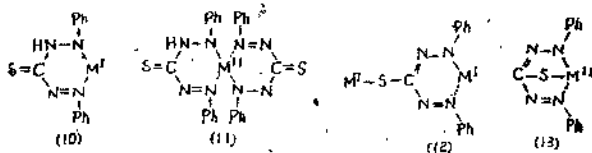
由双硫腙质谱指出，其碎片模型如图型1，腙为重排产物，此为原级双硫腙 Cu、Ni、Co 的质谱分析所支持。

由折射光谱显示出在 $450\text{nm}$ 有一清楚的光谱带，与在 $\text{CCl}_4$ 或 $\text{CHCl}_3$ 中短波长光谱带相似（见图2），但在 $550-580\text{nm}$ 区域仅一突出部，及在 $620\text{nm}(\text{CCl}_4)$ 或 $605\text{nm}(\text{CHCl}_3)$ 有一主要峰，这表明由于互变异构体引起的，这些记录与固体双硫腙主要为硫酮式(3)这一假说一致。

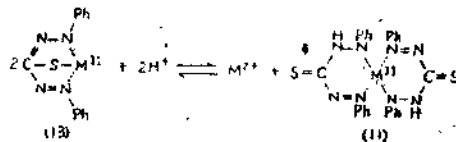




(9)



Scheme 2



## 在不同溶剂中双硫腙的溶解度

当讨论双硫腙在分析上两相提取系统的行为时，了解它在有机溶剂中的溶解度是重要的。由表 2 可看出：双硫腙在烷烃、环烷烃碳氢化物如在醇、酮中其溶解度很低，在芳烃中较高，在氯代烷烃碳氢化物如  $CCl_4$ 、 $CHCl_3$ 、 $C_2H_4Cl_2$  中最高。

表 2 双硫腙在有机溶剂中的溶解度及  $pH_{\frac{1}{2}}$  值

编 号	溶 剂	溶 介 度 克/升				$pH_{\frac{1}{2}}$
		0℃	20℃	30℃	35℃	
1	$C_2H_4Cl_2$	—	21.66	—	—	10.85 10.12 <sup>b</sup>
2	$CHCl_3$	13.7	16.9, <sup>a</sup> 18 <sup>b</sup> , 17.8 <sup>c</sup>	20.3 <sup>a</sup> 23.5 <sup>a</sup>	19.0	10.60 10.58 <sup>a</sup> 10.18 <sup>b</sup> 10.62 <sup>c</sup> 10.75 <sup>b</sup>
		—	—	—	—	—
		—	—	—	—	—
		—	—	—	—	—
		—	—	—	—	—
6	$CS_2$	1.62	2.83	—	3.60	9.23
10	苯	—	1.24, 1.6 <sup>b</sup>	4.24 <sup>a</sup>	—	9.11 9.09
12	甲苯	0.35	0.95 1.0 <sup>b</sup>	— 4.52 <sup>a</sup>	1.87	8.97
13	丙酮	—	0.93 <sup>b</sup>	—	—	—
17	$CCl_4$	0.272	0.512 0.513 <sup>c</sup> 0.6 <sup>b</sup>	0.74 <sup>a</sup> 0.8 <sup>a</sup>	1.27	8.80 8.79 <sup>c</sup> 8.92
25	$H_2O, pH < 7$	—	$5 \times 10^{-5}$ , $< 5 \times 10^{-5}$ $7.2 \times 10^{-5}$	—	—	—
30	70% $CHCl_3$ + 30% $C_6H_4$	—	6.93	—	—	10.24

表中除另有记号外，均引自 Tilley 记录。 $pH_{\frac{1}{2}}$  值系水溶液，离子强度  $I = 0.1M(KNO_3)$ ， $20^{\circ}\text{C}$ 。

因为任何双硫腙溶液除最低浓度的以外，具有很深的颜色，通常差不多是不透明的。对一饱和溶液，要确定它有无固体存在，是十分困难的。要注意金属杂质在过滤时由滤料引入，特别当一合适稀溶液由消光值及克分子消光系数，计算其浓度时更应注意。用  $CCl_4$  定量稀释约 0.1 毫升饱和溶液，使消光值为 0.4—0.6（1 厘米比色杯），可由吸收光谱及计算“峰比”以检查连续样品的纯度。“峰比” ( $e_{620}/e_{450}$ ) 为检查纯度特别灵敏的标准。由冷一饱和溶液至所需温度或保持有过多固体于这一温度，可达到平衡。由已知体积除去溶剂测剩余溶质重量的方法较满意。当溶介度低时，大体积操作不便，另外在蒸发时双硫腙可被氧化。

在中性或微酸性水中，此试剂既不质子化也不明显离介，溶介度为  $10^{-7}M^{-1}$ ，不能用合适方法测量。取一大体积饱和水溶液，再以小体积水不溶性有机溶剂提取，分光光度法测其浓度。保证水溶液真的达到饱和，可用  $CCl_4$  或己烷溶液平衡，亦可由酸化一碱性溶液以达到过饱和状态，但应严格排除空气，否则试剂要受到氧化。

加过多  $^{111}Ag$  ( $t_{\frac{1}{2}} = 7.5d$ ) 或  $^{110}Ag$  ( $t_{\frac{1}{2}} = 270d$ ) 于已知体积饱和水溶液中，用氯仿提取 1:1 银络合物  $Ag(HD_2)$ ，由测量放射性银以决定双硫腙浓度。此法多被推荐并广为采用，特别用于研究双硫腙取代物。

一些典型结果如表 3，实验条件通常为：水（或水溶液）含有极少量氯仿。如果一定量的有机溶剂如氯仿溶介在里面，测得的溶介度应稍大些，这关系到在计算时用合适的

*S*, 值, 包括液一液提取系统, 水相需要完全为有机溶剂所饱和并达到平衡。

### 两相平衡

双硫腙在两种互不相溶的溶剂中平衡时, 按照 *Nernst's* 分配定律:

$$\begin{aligned} P_r^T \{ H_2D_z \}_o / \{ H_2D_z \} \\ = ([H_2D_z]_{r.o} / [H_2D_z]) (f_{r.o} / f_r) \\ = P_r (f_{r.o} / f_r) \end{aligned} \quad (1)$$

式中大括号表示活度、方括号表示浓度、写在下面的 o 用以区别有机相及水相(以下同),  $P_r^T$  及  $P_r$  为热力学及浓度分配系数,  $f_r$  及  $f_{r.o}$  为水相与有机相未离介试剂的活度系数,  $H_2D_z$  代表未带电荷的双硫腙  $C_{13}H_{12}N_4S^*$

\* Nibbard 用  $D_z$  代表双硫腙, 谢德尔最初用  $D_z$  表示未离介的双硫腙, 以  $D'_z$  表示  $C_{13}H_{11}N_4S$ 。1949 年作者以  $HD_z$  表示未带电荷的双硫腙  $C_{13}H_{12}N_4S$ (当时仅认为系一元酸), 以  $D'_z$  代表单一电荷的双硫腙阴离子。有许多资料指出: 一定环境下另一个氢可以移去并被金属置换, 现在清楚的希望追随 Geiger 及谢德尔, 用  $H_2D_z$  表示双硫腙、以  $HD_z$  及  $D_z^{2-}$  表示两个共轭基, 而以  $H_3D_z^+$  表示共轭酸。不幸, Iweutscheff 1959 年的单行本, 又回复到以  $HD_z$  代表  $C_{13}H_{12}N_4S$ 。应当注意, 确定一个作者使用的习惯(特别是在文章中与混合络合物或次级双硫腙络合物有关系), 避免许